

8. Голдстейн М. Д. Аэроакустика.— М.: Машиностроение, 1981.
9. Сухинин С. В. Эоловы колебания около периодической решетки пластин // Динамика сплошной среды.— Новосибирск: ИГ СО АН СССР, 1986.— Вып. 77.
10. Шестопалов В. П., Кириленко А. А., Масалов С. А., Сиренко Ю. А. Резонансное рассеяние волн. Т. 1. Дифракционные решетки.— Киев: Наук. думка, 1986.
11. Гарипов Р. М. Неустановившиеся волны над подводным хребтом // ДАН СССР.— 1965.— Т. 161, № 3.
12. Лаврентьев М. А., Шабат Б. В. Проблемы гидродинамики и их математические модели.— М.: Наука, 1973.
13. Биченков Е. И., Гарипов Р. М. Распространение волн на поверхности тяжелой жидкости в бассейне с неровным дном // ПМТФ.— 1969.— № 2.
14. Налимов В. И., Плотников П. И. Нерегулярные задачи на собственные значения и эффект волновода // Динамика сплошной среды.— Новосибирск: ИГ СО АН СССР, 1973.— Вып. 23.
15. Селезов И. Т., Яковлев В. В. Дифракция волн на симметричных неоднородностях.— Киев: Наук. думка, 1978.
16. Бабич В. М., Билый И. Я. О волноводных свойствах подводного горного хребта // Изв. АН СССР. МЖГ.— 1979.— № 3.
17. Ламб Г. Гидродинамика.— М.; Л.: ОГИЗ, 1947.
18. Ле Блон П., Майсек Л. Волны в океане.— М.: Мир, 1981.— Т. 1, 2.
19. Steinberg S. Meromorphic families of compact operators // Arch. Rat. Mech. Anal.— 1968.— V. 31, N 5.

Поступила 9/II 1988 г.,
в окончательном варианте — 5/III 1988 г.

УДК 532.516 : 536.24.01

ВОЗНИКНОВЕНИЕ ТЕРМОКАПИЛЛЯРНОЙ КОНВЕКЦИИ В ЖИДКОМ ЦИЛИНДРЕ, ЦИЛИНДРИЧЕСКОМ И ПЛОСКОМ СЛОЯХ ПОД ДЕЙСТВИЕМ ВНУТРЕННИХ ИСТОЧНИКОВ ТЕПЛА

В. К. Андреев, А. А. Родионов, Е. А. Рябицкий

(Красноярск)

В условиях невесомости имеют место ситуации, когда не только внешние силы, но и силы самогравитации являются настолько слабыми, что не могут вызвать конвективного движения. Однако конвекция может возникнуть вследствие того, что коэффициент поверхностного натяжения зависит от температуры.

Изучению условий возникновения конвекции в жидкости при нагревании твердой или свободной поверхности посвящены работы [1—4]. В настоящей работе исследуется устойчивость равновесного состояния, которое возникает в жидком цилиндре, цилиндрическом и плоском слоях под действием постоянных внутренних источников тепла. Получены явные формулы для критических чисел Марангони. Показано, что учет деформации свободной поверхности приводит к понижению устойчивости и появлению разрыва нейтральной кривой. Кроме того, равновесное состояние плоского слоя более устойчиво, чем в аналогичной задаче Пирсона [1].

1. Жидкий цилиндр. Пусть внутри покоящегося жидкого цилиндра имеются постоянные внутренние источники тепла интенсивности q . Тогда равновесное состояние описывается формулами

$$(1.1) \quad u = v = w = 0, \quad p = \text{const}, \quad \Theta(r) = -qr^2/(4\chi) + \text{const}.$$

Здесь (u, v, w) — компоненты вектора скорости в цилиндрической системе координат (r, φ, z) ; p — давление; Θ — температура; $\chi = \text{const}$ — коэффициент температуропроводности жидкости.

Выберем в качестве характерных масштабов длины, скорости, давления и температуры величины b , ν/b , $\rho\nu^2/b^2$ и $\nu\gamma b/\chi$ (b — радиус цилиндра, ν — кинематическая вязкость, ρ — плотность жидкости, $\gamma = -\Theta_r(b) = qb/2\chi$). Уравнения малых возмущений произвольного термокапиллярно-го движения в цилиндрических координатах получены в [5]. Полагая эти возмущения зависящими от φ, z, t по закону $\exp[i(m\varphi + \alpha z - \alpha i Ct)]$, получим амплитудные уравнения для равновесного состояния (1.1):

$$(1.2) \quad \mu U + P' = \left[\frac{1}{\xi} (\xi U)' \right]' - \frac{2im}{\xi^2} V;$$

$$(1.3) \quad \mu V + \frac{im}{\xi} P = \left[\frac{1}{\xi} (\xi V)' \right]' + \frac{2im}{\xi^2} U;$$

$$(1.4) \quad \mu W + i\alpha P = \frac{4}{\xi} (\xi W)';$$

$$(1.5) \quad (\xi U)' + imV + i\alpha \xi W = 0;$$

$$(1.6) \quad \mu T - \xi U = \frac{1}{\xi} (\xi T)'; \quad (0 < \xi < 1);$$

$$(1.7) \quad V' - \frac{V}{\xi} + \frac{im}{\xi} U = -\frac{im}{\xi} \text{Ma}'(T + \Theta_0' R);$$

$$(1.8) \quad i\alpha U + W' = -i\alpha \text{Ma}(T + \Theta_0' R);$$

$$(1.9) \quad -i\alpha C R = U;$$

$$(1.10) \quad -P + 2U' = \text{We}(1 - \alpha^2 - m^2) R - \text{Ma}(T + \Theta_0' R);$$

$$(1.11) \quad T' + \text{Bi} T + (\Theta_0'' + \text{Bi} \Theta_0') R = 0 \quad (\xi = 1);$$

$$(1.12) \quad |U|, |V|, |W|, |P|, |T| < \infty \quad (\xi = 0),$$

где U, V, W, P, T — возмущения компонент вектора скорости, давления и температуры; R — отклонение границы по нормали от ее невозмущенного состояния; $r = b$; $\xi = r/b$; $\Theta_0 = \chi \Theta / \nu \gamma b$; $\mu = \alpha^2 + m^2 / \xi^2 - i\alpha C$; $\text{Ma} = \gamma \chi b^2 / \rho \nu \chi$ — число Марангони; $\kappa = -d\sigma/d\Theta = \text{const} > 0$ — температурный коэффициент поверхностного натяжения, так что $\sigma = \sigma_0 - \kappa(\Theta - \Theta(b))$; $\text{We} = b\sigma_0 / \rho \nu \chi$ — число Вебера; α — волновое число вдоль оси z ; m — спектральная мода по углу φ ; C — комплексный параметр; Bi — число Био; $\Theta_0'(1) = \Theta_0''(1) = -1$; штрих означает дифференцирование по ξ .

Примем принцип монотонности возмущений так, что граница устойчивости определяется значениями $C = 0$ в (1.2) — (1.4), (1.6), (1.9). Условие существования нетривиального решения задачи позволяет найти критическое значение $\text{Ma}(\alpha, m, \text{We}, \text{Bi})$, при котором теряется устойчивость равновесия.

Рассмотрим вначале осесимметрические возмущения ($m = 0$). Задача для функции V отделяется и не содержит Ma . После исключения W и P получаем для функции U задачу

$$(1.13) \quad L^2 U = 0 \quad (0 < \xi < 1), \quad L = \frac{d^2}{d\xi^2} + \frac{1}{\xi} \frac{d}{d\xi} - \left(\alpha^2 + \frac{1}{\xi^2} \right);$$

$$(1.14) \quad U(1) = 0, \quad U''(1) + U'(1) = -\alpha^2 \text{Ma} [T(1) - R];$$

$$(1.15) \quad U'''(1) + 2U''(1) - (1 - 3\alpha^2)U'(1) + \alpha^2 \text{We}(1 - \alpha^2)R + \alpha^2 \text{Ma} [T(1) - R] = 0;$$

$$(1.16) \quad U(0) < \infty, \quad (\xi U)'/\xi < \infty.$$

Введем функцию $\psi(\xi)$ такую, что

$$L^2 \psi = 0 \quad (0 < \xi < 1), \quad \psi(0) < \infty, \quad (\xi \psi)'/\xi < \infty,$$

$$\psi(1) = \psi''(1) + \psi'(1) - 1 = 0.$$

Решение последней задачи имеет вид

$$(1.17) \quad \psi(\xi) = -\frac{I_2(\alpha)}{2\alpha I_1^2(\alpha)} I_1(\alpha \xi) + \frac{\xi I_2(\alpha \xi)}{2\alpha I_1(\alpha)}$$

($I_{1,2}(x)$ — модифицированные функции Бесселя 1-го рода). Из (1.13), (1.14), (1.16) получаем, что $U = -\alpha^2 \text{Ma} [T(1) - R] \psi(\xi)$. Возмущение температуры T находится из решения краевой задачи (1.6), (1.11), (1.12) и $T(1) = f(\alpha)R$ с известной функцией $f(\alpha)$. Используя эти соотношения, а также свойства функций Бесселя, из граничного условия (1.15) найдем представление

$$(1.18) \quad \text{Ma} = \frac{(1 - \alpha^2)(\alpha s + \text{Bi})}{(\alpha^2 - 1)F(\alpha, s) + G(\alpha, s) \text{We}^{-1} \text{Pr}^{-1}},$$

где $s = \frac{I_1(\alpha)}{I_0(\alpha)}$; $F = \frac{\alpha}{12} \left(\frac{1}{s} - \varepsilon \right) - \frac{1}{6\alpha} s - \frac{1}{12}$; $G = \frac{2}{s^2} (1 - \alpha s) (\alpha^2 - \alpha^2 s^2 + s^2 - \alpha s)$.

Для азимутальных возмущений $\alpha = 0$ и задача на W отделяется. Легко видеть, что $W \equiv 0$. Возмущение давления удовлетворяет уравнению $P'' + P'/\xi + m^2 P/\xi^2 = 0$, следующему из (1.2), (1.3) и (1.5). С учетом условия $P(0) < \infty$ функция $P = C_1 \xi^m$ ($C_1 = \text{const}$) и уравнения (1.2), (1.3) примут вид $U'' + U'/\xi - (m^2 + 1)U/\xi^2 - 2imV/\xi^2 = C_1 m \xi^{m-1}$, $V'' + V'/\xi - (m^2 + 1)V/\xi^2 + 2imU/\xi^2 = C_1 im \xi^{m-1}$. Решение этой системы запишем как

$$U = \frac{1}{4} (C_1 + 2C_2) \xi^{m+1} + \frac{1}{2} C_3 \xi^{m-1},$$

$$V = -\frac{i}{4} (2C_2 - C_1) \xi^{m+1} + \frac{i}{2} C_3 \xi^{m-1}, \quad C_2, C_3 = \text{const}.$$

Для возмущения температуры находим

$$T = C_4 \xi^m - \frac{C_1 + 2C_2}{32m + 64} \xi^{m+4} - \frac{C_3}{8m + 8} \xi^{m+2}, \quad C_4 = \text{const}.$$

Из уравнения неразрывности (1.5) вытекает связь между постоянными C_1, C_2 : $C_1 = -2(m+1)C_2$. Подстановка явных выражений для U, V, P, T в граничные условия (1.7), (1.9)–(1.11) позволяет определить критическое значение Ma :

$$(1.19) \quad Ma(m) = \frac{8(m+1)(m+2)(m+Bi)}{m+16(m+2)We^{-1}} \quad (m \neq 1).$$

Ясно, что

$$(1.20) \quad \min_m Ma(m) = Ma(2) = \frac{48(Bi+2)}{1+32We^{-1}}.$$

При $m = 1$ и $\alpha = 0$ решение задачи (1.2)–(1.12) имеет вид $W = 0$, $U = V = P = 0$, $T = C_1 \xi$, $R = C_4$, что отвечает смещению свободной поверхности без деформации в плоскости $z = \text{const}$. Если же сразу предполагать поверхность недеформируемой, то решение этой задачи нетривиально и $Ma = 48(1+Bi)$. Оно формально получается из (1.19) при $m = 1$ и $We = \infty$.

В общем случае с помощью уравнения неразрывности (1.5) исключим функцию W и будем искать решение полученной задачи в форме

$$(1.21) \quad U = \gamma \varphi(\xi), \quad V = \gamma \psi(\xi), \quad P = \gamma f(\xi)$$

($\gamma = Ma [T(1) + \Theta'_0(1)R]$). Функция $f = C_1 I_m(\alpha \xi)$ ($C_1 = \text{const}$), а $\varphi(\xi), \psi(\xi)$ удовлетворяют системе

$$\varphi'' + \frac{1}{\xi} \varphi' - \left(\alpha^2 + \frac{m^2 + 1}{\xi^2} \right) \varphi - \frac{2im}{\xi^2} \psi = C_1 I'_m(\alpha \xi),$$

$$\psi'' + \frac{1}{\xi} \psi' - \left(\alpha^2 + \frac{m^2 + 1}{\xi^2} \right) \psi + \frac{2im}{\xi^2} \varphi = \frac{im}{\xi} C_1 I_m(\alpha \xi),$$

которая решена в [6]. Найденное там решение можно записать в более простом виде

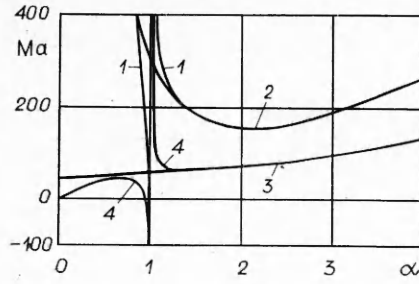
$$(1.22) \quad \varphi = \frac{C_2}{2} I_{m+1}(\alpha \xi) + \frac{C_3}{2} I_{m-1}(\alpha \xi) + \frac{C_1}{2} \xi I_m(\alpha \xi),$$

$$\psi = -\frac{iC_2}{2} I_{m+1}(\alpha \xi) + \frac{iC_3}{2} I_{m-1}(\alpha \xi)$$

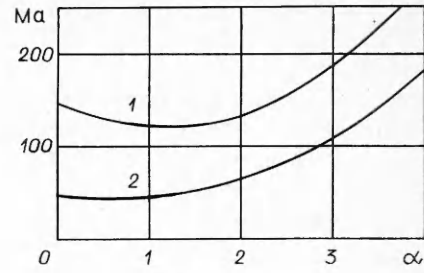
с постоянными C_2, C_3 .

Возмущение температуры находится из (1.6)

$$(1.23) \quad T = C_4 I_m(\alpha \xi) - \int_0^{\xi} \tau^2 U(\tau) D(\alpha \xi, \alpha \tau) d\tau,$$



Р и с. 1



Р и с. 2

где $D = I_m(\alpha\xi)K_m(\alpha\tau) - K_m(\alpha\xi)I_m(\alpha\tau)$; \bar{K}_m — модифицированная функция Бесселя 2-го рода; $C_4 = \text{const}$.

После подстановки (1.21), (1.23) в граничные условия (1.10), (1.11)

$$(1.24) \quad \text{Ma}(\alpha, m) = \frac{(1 - \alpha^2 - m^2) [\alpha I'_m(\alpha) + \text{Bi} I_m(\alpha)]}{(1 - \alpha^2 - m^2) I'_m + G_m \text{We}^{-1}}$$

$$\left(F_m = \int_0^1 \tau^2 \varphi(\tau) I_m(\alpha\tau) d\tau, G_m = [I_m(\alpha) - \alpha I'_m(\alpha)] [2\varphi'(1) - C_1 I_m(\alpha) + 1] \right)$$

Постоянные C_1, C_2, C_3 определяются из граничных условий (1.7)–(1.9) которые с учетом (1.21) переписутся в виде $\varphi(1) = 0, \varphi''(1) + \varphi'(1) = -\alpha^2 - m^2, \psi'(1) - \psi(1) = -im$.

Заметим, что $\lim_{\alpha \rightarrow 0} \text{Ma}(\alpha, m) = \text{Ma}(m)$, где $\text{Ma}(m)$ определяется из (1.19)

Были проведены численные расчеты по формулам (1.18), (1.24). В последнем случае $m = 1$, интеграл вычисляется явно через функции Бесселя $I_0(\alpha), I_1(\alpha)$. Эти формулы довольно громоздки и здесь не приводятся.

Для осесимметрических возмущений ($m = 0$) зависимость Ma от волнового числа α дана на рис. 1. Кривые 2, 3 отвечают случаю недеформируемой свободной границы, когда $\text{We} = \infty$. Минимальное критическое число Марангони $\text{Ma}_k = 48$ для $\text{Bi} = 0$ (кривая 3) и $\alpha_k = 0$. Интересно отметить что, согласно (1.20), при тех же значениях параметров минимальное Ma_k для азимутальных возмущений также равно 48. Если $\text{Bi} = 2$ (кривая 2), то $\text{Ma}_k = 178,7$ при $\alpha_k = 2,1$. С увеличением теплоотдачи минимальное Ma_k возрастает.

Если $\text{We} \neq \infty$, то знаменатель в формуле (1.18) может обратиться в нуль при некотором α^* . В частности, для $\text{We} = 10^4$ график $\text{Ma}(\alpha)$ имеет вертикальную асимптоту при $\alpha^* = 1,006$, $\text{Ma}(\alpha) \leq 0$ при $\alpha \in [1, \alpha^*]$ и $\text{Ma}(\alpha) \rightarrow -\infty$ при $\alpha \rightarrow \alpha^* - 0$. Для $\text{Bi} = 0$ (кривая 4) функция $\text{Ma}(\alpha)$ на интервале $0 \leq \alpha < \alpha^*$ достигает положительного максимума 48,8 при $\alpha = 0,8$, а для $\alpha > \alpha^*$ — положительного минимума $\text{Ma}_k = 57,7$ при $\alpha_k = 1,2$. Если же $\text{Bi} = 2$ (кривая 1), $\text{Ma}_k = 178,7$ при $\alpha_k = 2,1$.

Заметим, что для $\text{We} \rightarrow \infty$ кривые $\text{Ma}(\alpha)$ сливаются. Кроме того, $\text{Ma}(1) = 0$ при всех $\text{We} \neq \infty$ и при больших α $\text{Ma}(\alpha) \sim 8\alpha(\alpha + \text{Bi})$, когда $\text{We} = \infty$. Точно такая же асимптотика получается и для азимутальных возмущений. Это следует из формул (1.19) при $m \rightarrow \infty$ ($\text{We} = \infty$). Аналогичная асимптотика справедлива и для равновесия плоского слоя, ограниченного свободными поверхностями [3].

В случае $m = 1$ все кривые $\text{Ma}(\alpha, 1)$, определяющие границу устойчивости, имеют минимум, разрывы отсутствуют и графики для $\text{We} = \infty$ и 10^4 практически неразличимы. На рис. 2 кривая 2 соответствует теплоизолированной границе $\text{Bi} = 0$ и минимальное значение равно 47,38 при $\alpha = 0,66$, $\text{Ma}(0, 1) = 48$. При увеличении теплоотдачи минимум смещается в сторону коротких волн и для $\text{Bi} = 2$ (кривая 1) он равен 124,1, когда $\alpha = 1,27$, $\text{Ma}(0, 1) = 144$. Кривые $\text{Ma}(\alpha, m)$ для фиксированного $m \geq 2$ и $\text{We} = \infty$ расположены над кривыми $\text{Ma}(\alpha, 1)$. Поэтому, сравнивая рис. 1 и 2, заключаем, что наиболее опасны такие возмущения, когда $m = 1$.

2. Цилиндрический слой жидкости. Предположим, что жидкость расположена на твердой цилиндрической поверхности $r = a$ и занимает область $a \leq r \leq b$, $0 \leq \varphi \leq 2\pi$, $-\infty < z < \infty$. Равновесное состояние, удовлетворяющее условию теплоизоляции на внутреннем цилиндре $0 \leq r \leq a$, запишем в виде

$$(2.1) \quad u = v = w = 0, \quad p = \text{const}, \quad \Theta(r) = \frac{qa^2}{2\chi} \ln \frac{r}{b} - \frac{q}{4\chi} r^2 + \text{const}.$$

В задаче о малых возмущениях (1.2)–(1.12) изменится лишь уравнение (1.6):

$$(2.2) \quad \mu T + \left(\frac{d^2}{\xi} - \xi \right) U = \frac{1}{\xi} (\xi T) \quad (d < \xi < 1),$$

где $d = a/b < 1$, а вместо условий ограниченности (1.12) появятся условия прилипания и теплоизоляции на внутреннем цилиндре

$$(2.3) \quad U = V = W = T' = 0 \quad (\xi = d).$$

Кроме того, в граничных условиях (1.7), (1.8), (1.10), (1.11) необходимо положить $\Theta'_0(1) = d^2 - 1$, $\Theta''_0(1) = -(d^2 + 1)$.

Здесь для осесимметрических возмущений вместо (1.17) имеем

$$(2.4) \quad \psi = C_1 \frac{\xi}{2\alpha} I_0(\alpha\xi) - C_2 \frac{\xi}{2\alpha} K_0(\alpha\xi) + C_3 I_1(\alpha\xi) + C_4 K_1(\alpha\xi)$$

($K_j(x)$ — модифицированные функции Бесселя 2-го рода).

Постоянные C_1, \dots, C_4 находятся из условий (1.8), (1.9), (2.3)

$$(2.5) \quad \psi(d) = 0, \quad \psi'(d) = 0, \quad \psi(1) = 0, \quad \psi''(1) + \psi'(1) - 1 = 0.$$

Определяя возмущение температуры T из (1.11), (2.2), (2.3) и подставляя в граничное условие (1.10), найдем

$$(2.6) \quad \text{Ma} = \frac{(1 - \alpha^2)(\alpha l_1 + \text{Bi} l_2)}{\alpha^3(1 - \alpha^2)G(\alpha, d) + F(\alpha, d)\text{We}^{-1}},$$

где $l_1 = I_1(\alpha)K_1(\alpha d) - I_1(\alpha d)K_1(\alpha)$; $l_2 = I_1(\alpha d)K_0(\alpha) + I_0(\alpha)K_1(\alpha d)$;

$$G(\alpha, d) = \int_d^1 (d^2 - \tau^2) \psi(\tau) [K_0(\alpha\tau)I_1(\alpha d) + K_1(\alpha d)I_0(\alpha\tau)] d\tau; \quad F(\alpha, d) = \\ = [\psi''(1) - 3(1 + \alpha^2)\psi'(1) + 3] [(1 + d^2)l_2 + \alpha(d^2 - 1)l_1].$$

Интеграл $G(\alpha, d)$ допускает явное выражение через модифицированные функции Бесселя. Оно громоздкое и здесь не приводится. Можно показать, что при $d \rightarrow 0$ формула (2.6) переходит в (1.18). Для азимутальных возмущений ищем функции U, V, P в виде (1.21), где $\varphi = (1/2) \times [-mC_1\xi^{m+1} + C_2\xi^{-m-1} + C_3\xi^{m-1} + mC_4\xi^{-m+1}]$, $\psi = -(i/2) [(m+2) \times C_1\xi^{m+1} + C_2\xi^{-m-1} - C_3\xi^{m-1} + (m-2)C_4\xi^{-m+1}]$, $f = C_1\xi^m + C_2\xi^{-m}$ ($m \neq 1$). Постоянные C_1, \dots, C_4 находятся из граничных условий $\varphi(d) = \psi(d) = \varphi(1) = \psi'(1) - \psi(1) + im = 0$. Для критических Ma получим

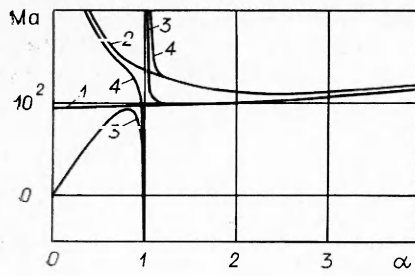
$$(2.7) \quad \text{Ma} = \frac{(1 - m^2) [m(d^{m-1} - d^{-m-1}) - \text{Bi}(d^{m-1} + d^{-m-1})]}{(1 - m^2)G(m, d) + F(m, d)\text{We}^{-1}},$$

$$G = \int_d^1 \left(\frac{d^2}{\tau} - \tau \right) \varphi(\tau) [d^{-1-m}\tau^{m+1} + d^{m-1}\tau^{1-m}] d\tau,$$

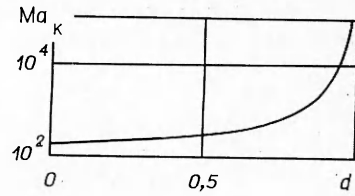
$$F = [(2 - m)(m + 1)C_1 + (2 + m)(1 - m)C_4 - (m + 1)C_2 + (m - 1) \times \\ \times C_3 + 1] [m(d^m - d^{-m-1})(d^2 - 1) - (d^m + d^{-m-1})(d^2 + 1)].$$

Если же $m = 1$, то нетривиальные решения существуют только при $\text{We} = \infty$ и

$$(2.8) \quad \text{Ma} = (1 - d^{-2} - (1 + d^{-2})\text{Bi})/G(1, d).$$



Р и с. 3



Р и с. 4

Здесь также легко показать, что формула (2.7) переходит в (1.19) при $d \rightarrow 0$, а предельное значение (2.8) есть $48(1 + \text{Bi})$.

В общем случае $\alpha \neq 0$, $m \neq 0$ производится замена (1.21):

$$f = C_1 I_m(\alpha \xi) + C_2 K_m(\alpha \xi), \quad \varphi = \frac{C_1}{2} \xi I_m(\alpha \xi) + \frac{C_2}{2} \xi K_m(\alpha \xi) + \frac{C_3}{2} I_{m+1}(\alpha \xi) + \\ + \frac{C_4}{2} K_{m+1}(\alpha \xi) + \frac{C_5}{2} I_{m-1}(\alpha \xi) + \frac{C_6}{2} K_{m-1}(\alpha \xi), \\ \psi = -\frac{iC_3}{2} I_{m+1}(\alpha \xi) - \frac{iC_4}{2} K_{m+1}(\alpha \xi) + \frac{iC_5}{2} I_{m-1}(\alpha \xi) + \frac{iC_6}{2} K_{m-1}(\alpha \xi),$$

где постоянные C_1, \dots, C_6 находятся из системы $\varphi(d) = \psi(d) = \varphi'(d) = \psi'(d) = 0$, $\psi'(1) - \psi(1) + im = 0$, $\varphi''(1) + \varphi'(1) + \alpha^2 + m^2 = 0$.

Используя рассуждения п. 1, получаем

$$(2.9) \quad \text{Ma} = \frac{(1 - \alpha^2 - m^2)(\alpha l_1 + \text{Bi} l_2)}{(1 - \alpha^2 - m^2) G_m + F_m \text{We}^{-1}},$$

где $l_1 = I'_m(\alpha d) K_m(\alpha) - K'_m(\alpha d) I_m(\alpha)$; $l_2 = K'_m(\alpha) I'_m(\alpha d) - I'_m(\alpha) K'_m(\alpha d)$;

$$G_m = \int_d^1 (d^2 - \tau^2) \varphi(\tau) [K_m(\alpha \tau) I'_m(\alpha d) - K'_m(\alpha d) I_m(\alpha \tau)] d\tau; \quad F_m = [-f(1) + \\ + 2\varphi'(1) + 1] [\alpha l_1 (d^2 - 1) - l_2 (d^2 + 1)].$$

Предельное при $d \rightarrow 0$ значение выражения (2.9) совпадает с Ma (1.24) для полностью жидкого цилиндра. В качестве примера на рис. 3 приведен расчет критических Ma для осесимметрических возмущений по формуле (2.6) при $d = 0,2$. Кривая 1 ($\text{Bi} = 0$, $\text{We} = \infty$) имеет минимум $\text{Ma}_k = 93$ при $\alpha_k = 0$, а 2 ($\text{Bi} = 2$, $\text{We} = \infty$) достигает минимума 260 при $\alpha_k = 2,66$. Если же $\text{We} \neq \infty$, то знаменатель в (2.9) обращается в нуль при $\alpha = \alpha^*$ и $\alpha^* \rightarrow 1$, когда $\text{We} \rightarrow \infty$. Для $\text{We} = 10^4$, $\alpha^* = 1,0014$ кривая 3 ($\text{Bi} = 0$) на интервале $0 \leq \alpha < \alpha^*$ достигает максимума 95 при $\alpha = 0,88$, а при $\alpha = 1,06$ минимум $\text{Ma}_k = 100,5$. Когда $\text{Bi} = 2$, то у кривой 4 минимум $\text{Ma}_k = 260$ при $\alpha_k = 2,66$.

С ростом волнового числа (или We) кривые $\text{Ma}(\alpha, \text{We})$ быстро сближаются и $\text{Ma} \sim 8\alpha(\alpha + \text{Bi})$, когда $\text{We} = \infty$.

Из сравнения кривых рис. 1 и 3 видно, что асимптотические возмущения цилиндрического слоя более устойчивы, чем аналогичные возмущения жидкого цилиндра. Это объясняется стабилизирующим действием вязких сил вблизи твердой стенки. Кривая рис. 4, где отложена зависимость минимальных критических Ma_k от параметра d , иллюстрирует рассмотренную ситуацию $\text{Ma}_k(0) = 178,7$. Точно такой же вывод справедлив и для $m \geq 1$.

3. Плоский слой. Равновесное состояние плоского слоя жидкости ограниченного твердой нижней границей $z = 0$ и свободной поверхностью $z = l$, описывается формулами

$$(3.1) \quad u = v = w = 0, \quad p = \text{const}, \quad \Theta(z) = -qz^2/2\chi + \text{const}.$$

Возьмем в качестве характерной температуры, скорости и давления величины $\nu l \gamma / \chi$, ν / l , $\rho \nu^2 / l^2$, где $\gamma = ql / \chi$. Краевая задача для малых воз-

ушений равновесного состояния (3.1) может быть сведена к следующей (\$z = z/l\$):

$$3.2) P_{\xi\xi} - k^2 P = 0, W_{\xi\xi} - k^2 W = P_{\xi}, T_{\xi\xi} - k^2 T = -zW \quad (0 < \xi < 1);$$

$$3.3) W = W_{\xi} = T_{\xi} = 0 \quad (\xi = 0);$$

$$3.4) W_{\xi\xi} + k^2 Ma_{\Pi} T + Ma_{\Pi} (2W_{\xi} - P) We_{\Pi}^{-1} = 0;$$

$$3.5) T_{\xi} + Bi_{\Pi} T + \frac{Bi_{\Pi} + 1}{k^2} (2W_{\xi} - P) We_{\Pi}^{-1} = 0;$$

$$3.6) W = 0 \quad (\xi = 1).$$

здесь $We_{\Pi} = \sigma_0 l / \rho \nu \chi$; $Ma_{\Pi} = \gamma \mu l^2 / \rho \nu \chi$; $k^2 = \alpha^2 + \beta^2$; α, β — волновые числа по направлениям x, y соответственно; k — волновое число.

Решение задачи (3.2) имеет вид

$$\begin{aligned} P &= C_1 \operatorname{sh} k\xi + C_2 \operatorname{ch} k\xi, W = \frac{C_1}{2} \left(\xi \operatorname{sh} k\xi - \frac{\operatorname{ch} k\xi}{2k} \right) + \\ &+ \frac{C_2}{2} \left(\xi \operatorname{ch} k\xi - \frac{\operatorname{sh} k\xi}{2k} \right) + C_3 \operatorname{sh} k\xi + C_4 \operatorname{ch} k\xi, \\ T &= \frac{C_1}{2k} \left(\frac{3}{8k} \xi^2 \operatorname{sh} k\xi - \frac{3}{8k^2} \xi \operatorname{ch} k\xi + \frac{3}{16k^3} \operatorname{sh} k\xi - \frac{1}{6} \xi^3 \operatorname{ch} k\xi \right) + \\ &+ \frac{C_2}{2k} \left(\frac{3}{8k} \xi^2 \operatorname{ch} k\xi - \frac{3}{8k^2} \xi \operatorname{sh} k\xi + \frac{3}{16k^3} \operatorname{ch} k\xi - \frac{1}{6} \xi^3 \operatorname{sh} k\xi \right) + \\ &+ \frac{C_3}{2k} \left(\frac{1}{2k} \xi \operatorname{sh} k\xi - \frac{1}{4k^2} \operatorname{ch} k\xi - \frac{1}{2} \xi^2 \operatorname{ch} k\xi \right) + \frac{C_4}{2k} \left(\frac{1}{2k} \xi \operatorname{ch} k\xi - \right. \\ &\left. - \frac{1}{4k^2} \operatorname{sh} k\xi - \frac{1}{2} \xi^2 \operatorname{sh} k\xi \right) + C_5 \operatorname{sh} k\xi + C_6 \operatorname{ch} k\xi. \end{aligned}$$

Удовлетворяя граничным условиям (3.3)–(3.6), получим

$$3.7) Ma_{\Pi} = \frac{8k^2 (k - \operatorname{sh} k \cdot \operatorname{ch} k) (\operatorname{ch} k \cdot Bi_{\Pi} + k \operatorname{sh} k)}{\operatorname{sh}^3 k + k^2 \operatorname{sh} k - k \operatorname{ch} k \cdot \operatorname{sh}^2 k + \frac{2}{3} k^4 \operatorname{sh} k - k^3 \operatorname{ch} k + 8k^3 (\operatorname{ch} k - k \operatorname{sh} k) We_{\Pi}^{-1}}.$$

На рис. 5 приведена зависимость $Ma_{\Pi}(k)$, вычисленная по формуле (3.7). Кривая 1 ($Bi_{\Pi} = 0, We_{\Pi} = \infty$) не имеет минимума при всех $k > 0$, $a_{\Pi}(0) = 80$. Вдоль кривой 2 ($Bi_{\Pi} = 2, We_{\Pi} = \infty$) минимум 194,3 достигается в точке $k = 2,18$. Если поверхность деформируема, то все кривые $a_{\Pi}(k)$ имеют разрыв, как и в случае цилиндрического слоя или жидкого цилиндра. Так, при $We_{\Pi} = 10^4$ разрыв происходит в точке $k^* = 0,17$. При $0 \leq k < k^*$ критическое число Марангони неположительно и $Ma_{\Pi}(k) \rightarrow -\infty, k \rightarrow k^* - 0$. Кривая 3 ($Bi_{\Pi} = 0, We_{\Pi} = 10^4$) имеет минимум 0,2 при $k = 0,59$. Для кривой 4 ($Bi_{\Pi} = 2, We_{\Pi} = 10^4$) минимальное $a_{\Pi} = 194,3$, когда $k = 2,18$.

В [1] рассматривалась задача о возникновении термокапиллярной конвекции под действием перепада температур на границах слоя при $We_{\Pi} = \infty$. Кривая 5 взята из этой работы и соответствует $Bi_{\Pi} = 2$. Поскольку линия 2 для всех $k > 0$ расположена выше 5, то равновесное состояние, возникающее под действием постоянных внутренних источников тепла, более устойчиво.

Заметим, что при $We_{\Pi} = \infty$ все кривые, включая и 5, имеют одинаковую асимптотику при $k \rightarrow \infty$: $Ma_{\Pi}(k) \sim 8k(k + Bi_{\Pi})$. Как отмечено выше, критические числа Марангони для цилиндра и цилиндрического слоя имеют ту же асимптотику для коротких волн. Поэтому критические числа для коротковолновых возмущений перестают зависеть от вида граничных условий [3], состояния равновесия и от размерности и геометрии области, занятой жидкостью.

Нетрудно проверить, что при $a \rightarrow \infty$ ($d \rightarrow 1$) и фиксированном значении $b - a = l$ равновесное состояние цилиндрического слоя (2.1)

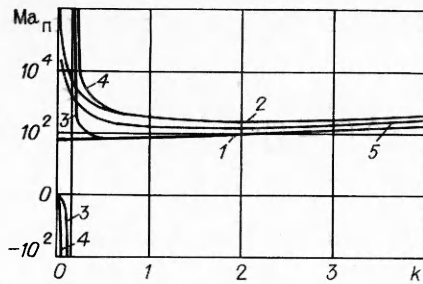


Рис. 5

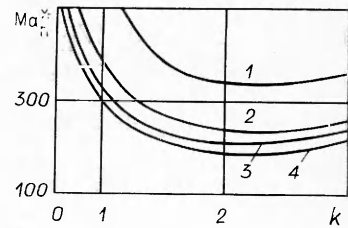


Рис. 6

сводится к равновесию плоского слоя (3.1). Поэтому представляется целесообразным сравнить отвечающие им критические числа Марангон. Для этого необходимо положить

$$(3.8) \quad Ma_{\pi}^* = 2(1 - d^3) Ma$$

и учесть, что $\alpha = kd/(1 - d)$ ($m = kd/(1 - d)$), $Bi = Bi_{\pi}/(1 - d)$, $We = We_{\pi}/(1 - d)$.

Подставляя в (3.8) Ma по формуле (2.6) или (2.7) и устремляя к единице, получим в пределе число Марангони (3.7), т. е. $\lim_{d \rightarrow 1} Ma_{\pi}^* = Ma_{\pi}$

На рис. 6 приведены кривые Ma_{π}^* , рассчитанные по формуле (3.8) при $Bi_{\pi} = 2$, $We_{\pi} = \infty$. Для кривой 1 $d = 0,1$ и минимум $Ma_{\pi}^* = 333$, $k = 2,23$, для 2 $d = 0,5$, $Ma_{\pi}^* = 237,2$, $k = 2,18$, а для 3 $d = 0,9$, $Ma_{\pi}^* = 209,2$, $k = 1,98$. Кривая 4 отвечает плоскому слою, когда $d = 1$. Как видно из рис. 6, минимумы кривых для цилиндрического слоя выше минимумов кривых для плоского слоя. Таким образом, равновесное состояние цилиндрического слоя является более устойчивым по отношению к осевым метрическим возмущениям, чем равновесное состояние плоского слоя.

ЛИТЕРАТУРА

1. Pearson J. K. A. On convection cells induced by surface tension // J. Fluid Mech. 1958.— V. 4, N 5.
2. Антимиров М. Я., Лиениня В. Р. Возникновение термокапиллярной конвекции цилиндрическом слое жидкости в условиях невесомости // Изв. АН ЛатвССР. Сб. физ. и техн. наук.— 1978.— № 3.
3. Бадрагинова Л. Г. Термокапиллярная неустойчивость равновесия жидкого слоя ограниченного свободными поверхностями // Динамика сплошной среды.— Новосибирск: ИГ СО АН СССР, 1980.— Вып. 46.
4. Бабский В. Г., Скловская И. А. Гидродинамика в слабых силовых полях. Возникновение стационарной термокапиллярной конвекции в шаровом слое жидкости условиях невесомости // Изв. АН СССР. МЖГ.— 1969.— № 3.
5. Андреев В. К., Рябицкий Е. А. Малые возмущения термокапиллярного движения в случае цилиндра.— М., 1984.— Деп. в ВИНТИ 27.11.84, № 7788—84.
6. Хансель Д., Бреннер Г. Гидродинамика при малых числах Рейнольдса.— М.: Мир 1976.

Поступила 19/XI 1987 г.,
в окончательном варианте — 18/II 1988 г.

УДК 532.5

К НЕУСТОЙЧИВОСТИ РАВНОВЕСИЯ ЖИДКОСТЕЙ

В. А. Владимиров

(Новосибирск)

Изучается проблема обращения теоремы Лагранжа в гидродинамике. Суть этой проблемы — доказательство неустойчивости положения равновесия (покоя) механической системы при отсутствии в нем минимума потенциальной энергии [1—4]. Рассмотрены линейные задачи устойчивости равновесия идеальных несжимаемой и сжимаемой жидкостей. Учтены такие факторы, как капиллярность, плотностная и энтропийная стратификация и вращение. Результат состоит в получении априори